

ΝΕΑ ΔΕΔΟΜΕΝΑ ΣΤΗ ΓΕΩΛΟΓΙΑ ΤΩΝ ΝΕΟΓΕΝΩΝ ΑΠΟΘΕΣΕΩΝ ΤΗΣ ΒΟΡΕΙΑΣ ΕΥΒΟΙΑΣ

Α. Μέττος*, Θ. Ροντογάννη*, Γ. Παπαδάκης*, Π. Πάσχος* και Χ. Γεωργίου*

ΣΥΝΟΨΗ

Η χαρτογράφηση και η λιθοστρωματογραφική μελέτη των νεογενών σχηματισμών της Β. Εύβοιας, έδειξε για πρώτη φορά την παρουσία πιειρωτικών αποθέσεων του Κάτω Μειόκαινου, αποτελούμενων από κροκαλοπαγή, αργίλους και ψαμμίτες. Πάνω στις αποθέσεις αυτές στην περιοχή Κερασιάς-Αν. Άννας βρίσκονται σε ασυμφωνία καστανόχρωμες ποταμοχερσαίες και λιμναίες αποθέσεις του Ανώτερου Μειόκαινου. Τα ιζήματα αυτά καλύπτουν το μεγαλύτερο τμήμα της Β. Εύβοιας και προς τα δυτικά εξελίσσονται στις αποθέσεις του Ανώτερου Πλειόκαινου της περιοχής Ιστιαίας.

Οι νεογενείς αυτοί σχηματισμοί καθώς και το προνεογενές υπόβαθρο έχουν επηρεαστεί από πολυάριθμα ρήγματα με κύριες διευθύνσεις ΒΔ-ΝΑ, ΒΑ-ΝΔ και Α-Δ. Πρόκειται για κανονικά και οριζόντιας μετατόπισης αργήματα που οφείλονται στη δράση τριών διαδοχικών φάσεων παραμόρφωσης από το Μειόκαινο μέχρι σήμερα.

ABSTRACT

During the mapping and the lithostratigraphical study of the neogene formations of N. Euboea, continental deposits of Lower Miocene, were recorded for the first time in this area, which consist of conglomerates and clays. In the Kerasia-Ag. Anna region, Up. Miocene brownish lacustrine and fluvial sediments are unconformably overlying the above mentioned continental deposits, and cover the greater part of N. Euboea. Towards west, the Kerasia-Ag. Anna formation develops into Upper Pliocene deposits of Istiea area.

The neogene as well as the preneogene formations has been affected by numerous faults of NW-SE, NE-SW and E-W main direction. These are normal and strike-slip faults due to the activation of three phases of deformation affecting this area from Miocene up-to-date.

ΓΕΝΙΚΑ

Η βόρειος Εύβοια καλύπτεται κατά το μεγαλύτερό της τμήμα από νεογενείς και τεταρτογενείς σχηματισμούς (Εικ. 1) που είναι λιμναίας και ποταμοχερσαίας φάσεων.

Με την μελέτη των νεογενών σχηματισμών της Εύβοιας έχουν ασχοληθεί κατά καιρούς πολλοί ερευνητές. Οι κυριότεροι από τους οποίους είναι: o CORDELLA (1878) A. METTOS, TH. RONDOYANNI, I. PAPADAKIS, P. PASCHOS, CH. GEORGIOU. New geological data of the neogene deposits of N. Euboea.

* Institute of Geology and Mineral Exploration, 70 Messoghion Str., 11527 Athens, Greece.



- [Blank box] Άλλουβικές αποθέσεις
Alluvial deposits
- [Dotted box] Τραβερτίνες, ψήρες, κροκαλοπαγή, δρυγιλούς
Travertines, marls, conglomerates, clays
- [Hatched box] Πηλίτες, δρυγιλούς
Siltstones, clays
- [Cross-hatched box] Οριόλιτες
Oriolites
- [Vertical lines box] Ασβεστόλιθοι
Limestones
- [Blank box] Ψαμμίτες, αργιλ., σχιστάλ., ασβεστόλ.
shales, sandstones, limestones
- Rήγμα-Fault
- — Rήγμα πιθανόν-Fault probable
- — — Εφεύρεμαστ. - Thrust

Εικ.1.: Απλοπαραμένος γεωλογικός χάρτης βόρειας Εύβοιας.
Fig.1.: Simplified geological map of North Euboea.

- ΟΔΟΚΑΙΝΟ
HOLOCENE
- ΑΝΓΚ.ΜΕΙΟΚΑΙΝΟ-ΑΝ. ΠΑΙΕΙΟΚΑΙΝΟ
UPPER MIocene-Upper Pliocene
- ΧΑΤΑ ΜΕΙΟΚΑΙΝΟ
LOWER MIocene
- ΠΡΟ-ΑΝΑ ΚΡΗΤΙΔΙΚΟ ΤΕΧΤΟΝΙΚΟ ΚΑΛΥΨΩ
PRE-CRETIC TECTONIC COVER
- ΑΝ. ΤΡΙΑΣΙΚΟ-ΚΑΤ. ΚΡΗΤΙΔΙΚΟ
UPPER TRIASSIC-LOWER CRETACEOUS
- ΠΑΛΑΙΟΖΩΙΚΟ-Μ. ΤΡΙΑΣΙΚΟ
PALEOZOIC-MIDDLE TRIASSIC

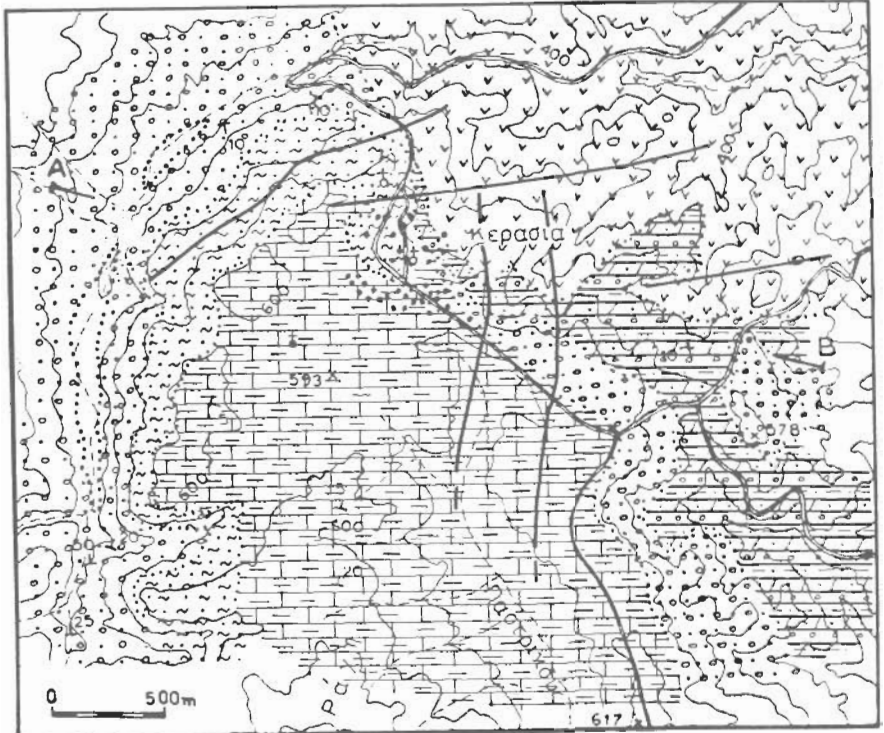
είναι ο πρώτος που αναφέρει ότι στην περιοχή Λίμνης μέσα στα κροκαλοπαγή κάτε τις αργίλους βρήκε απολιθώματα από *Casella* καὶ *Hipparium* που μετάζουν με αυτά του πικεμένου. Ο WOODWARD (1901) βρήκε στο Προκόπι πικεμική πανίδα με *Hipparium*, μέσα στις κόκκινες αργίλους που μετάζουν με αυτές του Πικεμένου. Ακόμη προσδιόρισε εκτός από το *Hipparium* καὶ *Rhinoceros*, *Casella brecicornis*, *Ictitherium* καὶ *Oxyotteropus*. Ο DEPRATT (1904) σε χάρτη με κλίμακα 1 : 300,000 τοποθετεί τις ποταμολιμναλες αποθέσεις της ΒΑ. Εύβοιας από το Σαρμάτειο μέχρι το Πλειόκαλνο. Ο ΜΗΤΣΟΠΟΥΛΟΣ (1947) αναφέρει πανίδα με *Hipparium* 4 χιλιόμετρα βόρεια της Αν. Άννας καντά στο χωριό Αχλάδι. Ο GUERNET (1971) χαρακτηρίζει τους μαργαλικούς ασβεστόλιθους λίμνης Ποντιου ηλικίας από το γαστερόποδο *Melanopsis (Tyrsaea) impressa*. Στο Αχλάδι εναφέρει ότι η SAUVAGE προσδιόρισε με ροττεν ηλικία Πόντο, στην Κεραστά επίσης προσδιόρισε το γαστερόποδο *Brotia (Tinneyea) escheri* βρονγκ που χαρακτηρίζει ηλικία Ανώτερο Μελόκαλνο (Πόντο). Οι ΚΑΤΕΙΚΑΤΣΩΣ κ.ά. (1981) αναφέρουν ότι στην Λεκάνη Αιγαίνης-Ιστιαίας πρόλεξ φορές τα κροκαλοπαγή βρίσκονται σε πλεύρική μετάβαση με τις μάργες κατ μαργαλικούς ασβεστολίθους. Η έργατενένεση στην λεκάνη αυτή σύμφωνα με τους διοικητές έρευνητές άρχισε στο Ανώτερο Μελόκαλνο (Τσουρέλια), ο DE BRUIJN κ.ά. (1979) χαρακτηρίζουν τις λιμναλες αποθέσεις της λίμνης ότι ανήκουν στο Κατώτερο Πλειόκαλνο από την παρακάτω πανίδα μικροθηλαστικών *stomomys cf. polonicus*, *Minomys cf. severtianus*, *Plomys hungaricus*, *Orientalomys similis*, *Meromys prae-murinus*, *Rhagapodemus fréquens athensis*, *Apodemus dominans*, *Uliomys sp.* καὶ *Miomimus roachi*.

ΣΤΡΩΜΑΤΟΓΡΑΦΙΑ

Η νεογενής λεκάνη Αιγαίνης-Ιστιαίας καλύπτεται κατά το μενταλύτερο μέρος της από ιζήματα του Ανώτερου Μελόκαλνου-Ανώτερου Πλειόκαλνου τα οποία βρίσκονται σε ασυμφωνία με τα ιζήματα του Κατώτερου Μελόκαλνου (Εικ. 1, 2). Οι απομέσεις του Κατώτερου Μελόκαλνου αναφέρονται για πρώτη φορά κατ απαντούν στην περιοχή μεταξύ Αν. Άννας κατ Κεραστάς. Πάνω από τα ιζήματα αυτά έχουν αποτεθεῖ με ασυμφωνία οι καστανόχρωμες ποταμοχερσαίες αποθέσεις κατ οι τραβερτίνες, μαργαλικοί ασβεστόλιθοι του Ανώτερου Μελόκαλνου (Εικ. 2, 3).

Η σειρά των νεογενών σχηματισμών σύμφωνα με τη λιθοστρωματογραφική τους διάρθρωση, τα βιβλιογραφικά και τα παλαιοντολογικά δεδομένα, μπορεί να διακριθεί σε :

- Πηλίτες, αργίλους κατ κροκαλοπαγή του Κάτω Μελόκαλνου.
- Καστανόχρωμες ποταμοχερσαίες αποθέσεις που απαντούν κύρια στο Προκόπι και Αχλάδι και συνίστανται από εναλλαγές κροκαλοπαγών, ψαμμιτών και αρνίων μέσα στις οποίες έχει βρεθεί πικεμική πανίδα που χαρακτηρίζει ηλικία Ανώτερο Μελόκαλνο.

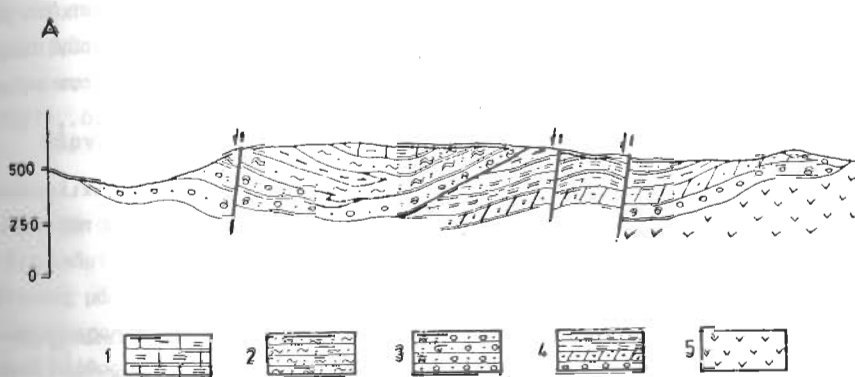


Εικ. 2.: Γεωλογικός χάρτης περιοχής Κερασσίας.
Fig. 2.: Geological map of Kerassia area.

- Μάργες, αργίλους, τραβερτίνες, μαργαϊκούς ασβεστόλιθους Αγ. Άννας-Κερασσίας του Ανώτερου Μελόκαλου (GUERNET, 1971).
- Μάργες, κροκαλοπαγή και μαργαϊκούς ασβεστόλιθους της περιοχής Λίμνης, ηλικίας Κατώτερου Πλειστόκαλου (DE BRUIJN, 1979).
- Κροκαλοπαγή δυτικά του Ξηρού Όρους που μεταβαίνουν πλευρικώς προς τις μάργες και τα κροκαλοπαγή της Ιστιαίας, ηλικίας Ανώτερου Πλειστόκαλου.

Πηλίτες, άργιλος, κροκαλοπαγή

Στην περιοχή μεταξύ Κερασσίας-Αχλαδίτσου και Αγ. Άννας (Εικ. 1,2), έχουμε την παρουσία ιζημάτων που βρίσκονται σε ασυμφωνία με τους υπερκείμενους σχηματισμούς του Ανώτερου Μελόκαλου (Εικ. 3, 6α).



Εικ. 3 : Γεωλογική τομή Α-Β.

1. Τραβερτίνες και μαργαϊκοί ασβεστόλιθοι, 2. Μάργες, άργιλος,
3. Κροκαλοπαγή, 4. Πηλίτες, άργιλοι, 5. Οφιόλιτοι.

Fig. 3 : Geoss section A-B.

1. Travertines and marly limestones, 2. Marls, clays, 3. Conglomerates, 4. Siltstones, clays, 5. Ophiolites.

Οι αποθέσεις αυτές, που το πάχος τους φθάνει τα 150-200μ. κατά θέσεις αρχίζουν με κροκαλοπαγή. Το είδος των κροκαλών είναι οφιολιθικό εξ αιτίας του γενιτονικού υποβάθρου και το μέγεθός τους ποικίλλει από θέση σε θέση. Μερικές φορές φθάνει μέχρι το 1m. Στη συνέχεια έχουμε την απόθεση πηλιτών που εναλλάσσονται με εντράσεις μικρού πάχους από αργίλους, ψαμμίτες, ψαμμυτοκροκαλοπαγή, λεπτόκοκκους διμήθες και κροκαλοπαγή. Τα κροκαλοπαγή έχουν μικρό πάχος (1-2μ.) και αποτελούνται από μικρές στενές σειρές πηλιτών που σχηματίζονται σε παράλιες περιοχές.

λούντατι από σχετικά μικρές κροκάλες ασβεστολιθικές, κερατολιθικές και αφιολιθικές.

Οι πηλίτες είναι χαρακτηριστικοί για τις απόθεσεις αυτές, έχουν θαρή στρώση και χρώμα γκριζοπράσινο, έχουν υποστεί μικρή διαγένεση και γι' αυτό είναι συνεκτικοί και ο χωρισμός τους στα επίπεδα στρώσης γίνεται εύκολα. Ακόμα παρου - σιάζουν μία έντονη τεκτονική καταπόνηση, γεγονός από το οποίο συμπεραίνεται ότι η περιοχή αυτή βρισκόταν σε τεκτονική αστάθεια σ' όλη σκεψήν την διάρκεια απόθεσης των ιζημάτων αυτών. Μέσα στα υλικά αυτά παρατηρούνται πολυάριθμα ρήγματα, πολλά από τα οποία είναι συνιζηματογενή διόπις επίσης και μικρές πτυχές διαφόρων μορφών και με διαφορετική τοποθέτηση και προσανατολισμό στο χώρο. Το γεγονός αυτό μας οδηγεί στο συμπέρασμα ότι οι πτυχώσεις αυτές οφείλονται κυρίως σε φαινόμενα ο - λίσθισης που έγιναν με τη βοήθεια των τεκτονικών δυνάμεων σε συνδυασμό με την πλαστικότητα του υλικού.

Σύμφωνα με τη στρωματογραφική θέση και τη λιθολογική διάρρηση των ιζημάτων αυτών, θεωρούμε ότι ανήκουν στο Κατώτερο Μειόκαινο και αντιστοιχούν στις αποθέσεις του Κατώτερου Μειόκαινου της περιοχής Κύμης-Αλιβερίου που έχουν μελετηθεί από τους KATSIKATSOS κ.ά. 1981, DOUKAS 1986, G.KLEIN HOFMEIJER κ.ά., 1987, κ.λ.π.

Η παλινολόγηκή ανάλυση* έδειξε ότι εγκλείσεται πλούσια και ποικιλόμορφη μικροχλωρίδα που χαρακτηρίζεται ηλικία Κατώτερου Μειόκαινου. Μεταξύ των παλιγομόρφων τα κυριότερα είδη που αναγνωρίστηκαν είναι τα εξής :

- Γυρεόδοκκοι των *Rinaceae*, *Taxodiaceae*-*Cupressaceae*, *Palmae*
- Γυρεόδοκκοι των Αγγειοσπέρμων με τα χαρακτηριστικά είδη : *Tricolporopollenites dolium*, *Tricolporopollenites villensis*, *Tricolporopollenites microreticulatus*, *Tricolporopollenites pseudocrassatus*, *Tricolporopollenites microcoryphaeus/punctatus*, *Microtropis fallax*
- Σπόροι των Πτεριδοφύτων

Ποταμοχερσαίες καστανόχρωμες αποθέσεις

Οι αποθέσεις αυτές αποτελούν τα βαθύτερα μέλη των άνω-μειοκαίνειών ιζημάτων της περιοχής Κερασιάς και έχουν αποτεθεί ασύμφωνα πάνω στα ιζήματα των πηλιτών-αργίλων του Κατώτερου Μειόκαινου (Εικ. 2, 3). Αποτελούνται από εναπλαγές καστανόχρωμων κροκαλοπαγών, ψαμμιτών, πηλών και αργίλων.

Σε τομή κατά μήκος του διανοιχθέντος νέου δρόμου Κερασιάς-Αγ. Άννας διακρίναμε από τα βαθύτερα προς τα ανώτερα μέλη τα παρακάτω :

- Κροκαλοπαγή σε επαφή με τους πηλίτες-αργίλους. Το μέγεθος των κροκαλών είναι 20-25 εκατ. που πολλές φορές φθάνει τα 40 εκ. (Εικ. βα).

* Ο προσδιορισμός έγινε από την Παλινολόγο του ΙΓΜΕ Δρ. ΧΡ. ΙΩΑΚΕΙΜ

- Ψαμμίτες ανοικτοκάστερων χωμάτων πέφρογν διαστρώσεις από αραιές ασβεστολιθικές κροκάλες.
- Μή συνεκτικά κροκαλθηγή, που αποτελούνται από κροκάλες κύρια ασβεστολιθικές πητικέλους μεγέθους. Το συνδετικό υλικό είναι χονδρόκοκκος άμμος ή ψηφλές. Μέσα στις αποθέσεις αυτές παρεμβαλλούνται μή συνεκτικοί ψαμμίτες ή φακέλι από άμμους.
- Ψαμμίτες πάχυχες μέχθι 1μ., που εναλλάσσονται με καστανόχρωμους πηλούς, αργίλους κατ' άμμους.
- Τέλος, τα ανώτερα μέλη αποτελούνται από καστανόχρωμους πηλούς και αργίλους μέσης στις επιθετικές απαντήσεις διάσπαρτες ασβεστολιθικές κροκάλες ή ενστρώσεις από αραιές κροκάλες με αργίλους.

Τα ιζήματα αυτά αποτελούν την πλευρική και προς τα πάνω μετάβαση των καστανόχρωμων ποταμοχερσαίων αποθέσεων της περιοχής Αχλαδιού-Αγ. Άννας μέσα στα οποία βρέθηκαν όπως αναφέρεται πεθερικά απολιθώματα σπόνδυλων ηλικίας Ανώτερου Μειόκαινου. Το πάχος έων επιθετικών αυτών φθάνει τα 250-300μ. περίπου.

Μάργες, πρύτανες

Οι καστανόχρωμες ποταμοχερσαίες αποθέσεις μεταβιβάζεται πλευρικά και προς τα πάνω σε αργίλομάργινα υλικά (Εικ. 2). Τα ιζήματα αυτά καταλαμβάνουν μέτρη έκτασης βορειοδυτικά της Κερασιάς και έχουν πάχος 200-250μ. περίπου. Αποτελούνται από υπόλευκες μάργες που εναλλάσσονται με αμμούχους ή πηλούχους αργίλους. Οι υπόλευκες μάργες κατά θέσεις φέρουν ενστρώσεις από χουμάδη υλικά εντός των οποίων απαντά πλήθος από γαστερόποδα με κυριότερο αντιπρόσωπο *Melampsotus sp.*

Τραβερτίνες, μαργατείς ασβεστόλιθοι

Οι αποθέσεις αυτές αποτελούν την πλευρική και προς τα πάνω μετάβαση των καστανόχρωμων ποταμοχερσαίων αποθέσεων καφής και των αργίλων-μαργάρων που απαντούν βορειοδυτικά της Κερασιάς. Καταλαμβάνουν σημαντική έκταση νότια του χωριού, και είναι ελαφρά πτυχωμένες, χωρίς να παρουσιάζουν γενικά μεγάλες κλίσεις.

Αποτελούνται κύρια από τραβερτίνες και εν μέρει από μικροτικούς βιογε - νείς ασβεστόλιθους. Στο βόρειο τμήμα τα ιζήματα αρχίζουν με λεπτοπλακώδεις υπόλευκες μάργες που εναλλάσσονται με πλακώδεις μαργατείκους ασβεστόλιθους. Νότια επικράτειον οι τραβερτίνες υπό μορφή πάγκων έντες των οποίων διακρίνονται πυρήνες γαστερόποδων και υπολείμματα φυτικών λειψάνων. Κάτω από τους πάγκους των τραβερτίνων έχουμε την παρουσία ωσειδών που η διάμετρός τους φθάνει τα 4-5 εκ. Νοτιότερα ακόμα, κατά θέσεις κάτω από τους τραβερτίνες και τους πλακώδεις μαργατείκους ασβεστόλιθους έχουμε τεφρόδμαρες απολιθωματοφόρους αργίλους. Τέλος στα βαθύτερα μέλη των ιζημάτων βρέθηκαν τα απολιθωμένα δένδρα της περιοχής. Το θυγατρικό πάχος τους φθάνει τα 120-150μ.

Οι αποθέσεις αυτές, όπως αναφέραμε παραπάνω, σύμφωνα με τον GUERNET (1971) χαρακτηρίζουν ηλικία Ανώτερο Μειόκαινο (Πόντιο) από την παρουσία του γαστερόποδου *Brotia (Tinneyea) estheri bronzi*.

NEOTEKTONIKH

Η βόρεια Εύβοια βρίσκεται σε μία ενεργή τεκτονικά περιοχή του Ελληνικού χώρου και φαίνεται ότι αποτελεί ένα μεγάλο τεκτονικό κέρας, με γενική διεύθυνση ΒΔ-ΝΔ. Στη δυτική του πλευρά βρίσκεται η τάφρος του Β. Ευβοϊκού κόλπου που ορίζεται από τα μεγάλα κανονικά ρήγματα της Λοκρίδας, τα οποία κλίνουν προς ΒΑ και της Εύβοιας που κλίνουν ΝΔ. Ορισμένα από αυτά παρατηρούνται στην ξηρά όπως για παράδειγμα το μεγάλο ρήγμα στη νοτιοδυτική πλαγιά του όρους Κανδήλι, με διεύθυνση ΒΔ-ΝΔ, του οποίου η πρόσφατη δράση συνοδεύεται και από τον σχηματισμό εντυπωσιακών πλευρικών κορημάτων. Η πρόσφατη τεκτονική δράση της περιοχής εκδηλώνεται και με την εμφάνιση των θερμών πηγών και της πλειστοκανικής ηφαιστειότητας στην ευρύτερη περιοχή της Αιδηψού (FYTIKAS κ.ά. 1976).

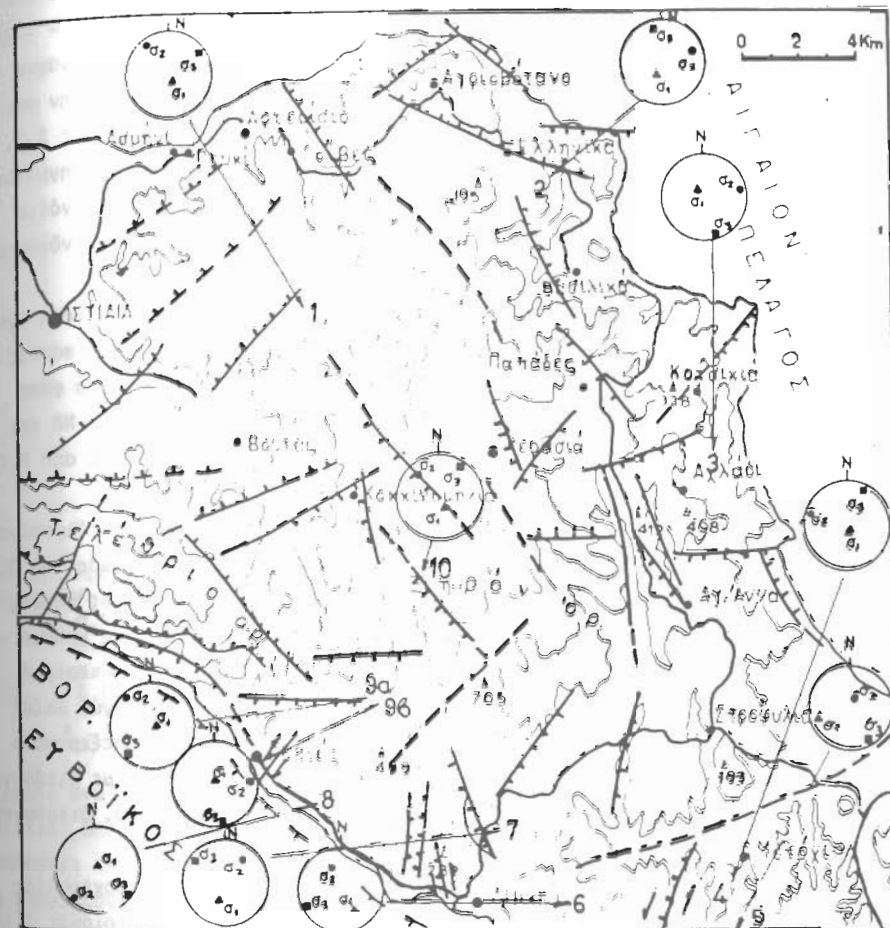
Ένα άλλο σύστημα ρηγμάτων διεύθυνσης ΒΔ-ΝΔ δημιουργήσε το δίσυλο των Θρεών και του Τρίκερι, που είναι πιθανότατα συνέχεια της μεγάλης τεκτονικής ζώνης του βορείου Αιγαίου. Τέλος, η ανατολική πλευρά της Εύβοιας προς το Αιγαίο πέλαγος παρουσιάζει απότομη μορφολογία πυθμένα που έμεσα συνεπάγεται και εδώ την παρουσία μεγάλων ρηγμάτων.

Οι αλπικοί και οι μεταλπικοί σχηματισμοί της βόρειας Εύβοιας έχουν επηρεαστεί από διάφορες τεκτονικές φάσεις με αποτέλεσμα τη δημιουργία ρηγμάτων διεύθυνσης κύρια ΒΔ-ΝΔ, ΒΑ-ΝΔ και Α-Δ.

Στο τεκτονικό χάρτη της Εικ. 4, απεικονίζονται τα κυριότερα ρήγματα που έχουν επηρεάσει την περιοχή καθώς και τα αποτελέσματα της μικροτεκτονικής ανάλυσης σε διάφορες θέσεις ρηγμάτων. Πρόκειται για κανονικά αλλά και οριζόντιας μετατόπισης ρήγματα, που δημιουργήθηκαν ή ανέδρασαν κατά την διάρκεια του Νεογενούς-Τεταρτογενούς και ευθύνονται για τη σημερινή μορφοτεκτονική εικόνα του νησιού.

Η επεξεργασία των μικροτεκτονικών μετρήσεων έγινε στον H/Y με την μέθοδο CAREY (1976) και βρέθηκαν οι κύριες διευθύνσεις τάσεων των διαφόρων φάσεων παραμόρφωσης που έχουν επηρεάσει την μελετηθείσα περιοχή. Πρέπει να τονίσουμε ότι στην παρούσα εργασία δίνονται τα πρώτα αποτελέσματα της νεοτεκτονικής μελέτης, επειδή δεν έχει ολοκληρωθεί ακόμα η επεξεργασία δύο των συλλεγέντων στοιχείων.

Η νεοτεκτονική μελέτη έδωσε την ύπαρξη δύο εφελκυστικών τεκτονικών φάσεων που ευθύνονται για την δράση των κανονικών ρηγμάτων και μίας τρίτης, η οποία συνδέεται με ρήγματα οριζόντιας μετατόπισης. Η πρώτη εφελκυστική φάση έχει επηρεασει ιζήματα μειοκανικής-κάτω πλειοκανικής ηλικίας καθώς και το προνεογενές υπόβαθρο με διεύθυνση εφελκυσμού ΒΔ-ΝΔ (Εικ. 4, θέσεις 1,4,6,9α,10). Χαρακτηριστικό



Ρήγμα κανονικό (εδάφιση προς το τέμαχο που κατεβαίνει)
Normal fault (dentation towards the downthrow segment)

Ρήγμα με οριζόντια μετατόπιση
Strike-slip fault

Ρήγμα πιθανό
Fault probable

Ερύπιπευση
Upthrust

Κύριοι άξονες τάσεων και θέσεις μετρήσεων
Main stress axes and measurement sites

Εικ. 4.; Τεκτονικός χάρτης περιοχής Β. Ευβοίας
Fig. 4.; Tectonic map of N. Euboea

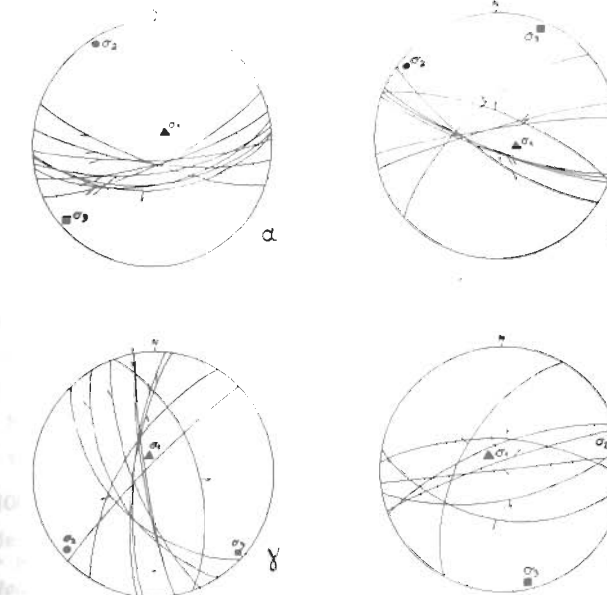
του έντονου τεκτονισμού είναι και οι μεγάλου πάχους ζώνες μυλονιτίωσης που διασχίζουν τους μεσοζωϊκούς σχηματισμούς με κύρια διεύθυνση ΒΔ-ΝΑ, που έγιναν κατά τα πρώτα στάδια της τεκτονικής αυτής φάσης. Η νεότερη εφελκυστική φάση αναγνωρίζεται από τη δράση κανονικών επίσης ρηγμάτων που έχουν επηρεάσει όλη την σειρά των ιζημάτων της περιοχής και έχει διεύθυνση Β.ΒΔ-Ν.ΝΑ (Εικ. 4, θέσεις 2,3, 7,8,9β). Ανάμεσά τους τοποθετείται η φάση που έχει προκαλέσει τη δράση ρηγμάτων οριζόντιας μετατόπισης (Εικ. 6β). Τέτοια ρήγματα εμφανίζονται κύρια στο νότιο μέρος της περιοχής που μελετήθηκε και η επεξεργασία τους μας δίνει την ενδιάμεση κύρια τάση (σ2) κατακόρυφη.

Οι ΚΑΤΣΙΚΑΤΣΟΣ κ.ά. (1982) αναφέρουν ότι η μικροτεκτονική ανάλυση των ρηγμάτων της ευρύτερης περιοχής Αιδηψού έδωσε τέσσερις μεταμορφικές φάσεις παραμόρφωσης, ενώ ο MERCIER κ.ά. (1987) αναφέρουν στην βόρεια Εύβοια μία φάση εφελκυσμού ήλικιας Κάτω Πλειστοκαίνου-Κάτω Πλειστόκαινου, με διεύθυνση ΒΑ-ΝΔ και μία μεταγενέστερη φάση συμπίεσης με διεύθυνση που ποικίλλει κατά θέσεις από Β.ΒΔ-Ν.ΝΑ μέχρι Β.ΒΑ-Ν.ΝΔ.

Παρακάτω αναφέρονται ενδεικτικά ορισμένες θέσεις στις οποίες διακρίνονται οι διάφορες τεκτονικές φάσεις που επηρέασαν την περιοχή. Ο προσδιορισμός της διαδοχής των τεκτονικών αυτών φάσεων δεν ήταν εύκολος, επειδή σε ελάχιστες θέσεις παρατηρήθηκαν στην ίδια ρηξιγενή επιφάνεια περισσότερες από μία γενιές γραμμώσεων. Μία τέτοια θέση είναι κοντά στο μοναστήρι του Οσίου Δαυΐδ, στην περιοχή του δρους Ξηρού, όπου παρατηρούνται μέσα στην ανώτερη σειρά κροκαλοπαγών λείες ρηξιγενείς επιφάνειες με δύο γενιές λεπτών μηχανικών γραμμώσεων. Η επεξεργασία των μετρήσεων της πρώτης γενιάς έδωσε επικράτηση εφελκυστικών τάσεων με διεύθυνση επέκτασης ΒΑ-ΝΔ (Εικ. 5α). Η νεότερη γενιά φανερώνει επίσης εφελκυσμό, διεύθυνσης όμως Β.ΒΔ-Ν.ΝΑ.

Η πρώτη τεκτονική φάση αναγνωρίστηκε επίσης μέσα στις ποταμοχερσαίες αποθέσεις ανωμειοκαίνικής ήλικιας στο νότιο τμήμα της μελετηθείσας περιοχής (Εικ. 5β), καθώς και στο δριο μεταξύ των Ιουρασικών ασβεστολίθων του δρους Ξηρού και των αποθέσεων της νεογενούς λεκάνης. Τα ρήγματα αυτά είναι κανονικά, οι κατοπτρικές τους επιφάνειες φαίνονται πάνω στο προνεογενές υπόβαθρο και η δράση τους πλανότητα συνδέεται με τη δημιουργία της λεκάνης. Λαμβάνοντας υπόψη τη στρωματογραφική θέση των σχηματισμών που έχουν επηρεαστεί από την πρώτη εφελκυστική φάση καθώς και τις διευθύνσεις των κυρίων τάσεων (παρόμοιες με τη διεύθυνση των τάσεων της μειο-πλειοκαίνικής εφελκυστικής φάσης στην περιοχή του βόρειου Ευβοϊκού που έχει αναφερθεί από τους PHILIP, 1974, PONTOGIANNI, 1984) θεωρούμε την ηλικία της στη βόρεια Εύβοια μειο-πλειοκαίνική.

Η δεύτερη εφελκυστική φάση με διεύθυνση Β.ΒΔ-Ν.ΝΑ, αναγνωρίστηκε σε διάφορες θέσεις της περιοχής που μελετήθηκε (Εικ.5γ, 5δ), τόσο στα παλιότερα



Εικ.5.: Προβολές επιπέδων ρηγμάτων με γραμμώσεις και κύριοι άξονες τάσεων
Fig.5.: Fault plane projections with striations and principal stress axes.
α.Περιοχή μονής Δαυΐδ, David monastery area,
β.Περιοχή Μετόχι, Metochi area
γ.Περιοχή Λίμνης, Limni area
δ.Περιοχή Αχλαδιού, Achladi area

ζήματα άνω-μειοκαίνικής και κάτω-πλειοκαίνικής ήλικιας όσο και στις άνωπλειοκαίνικές αποθέσεις της λεκάνης Ιστιαίας. Είναι φανερό λοιπόν, ότι η φάση αυτή επηρεάζει την Β. Εύβοια κατά το Τεταρτογενές γενονός που συμπεριλανεται τόσο από τα στρωματογραφικά στοιχεία όσο και από τη σύγκριση με την γνωστή τεταρτογενή εφελκυστική φάση που επηρεάζει όλο τον εσωτερικό Αιγαίακό χώρο (MERCIER, et al., 1987).

Τέλος στα ποταμοχερσαία ιζήματα που καλύπτουν τους οφιόλιθους του νότιου τμήματος της μελετηθείσας περιοχής, μπορέσαμε να διακρίνουμε μία τεκτονική φάση που εκδηλώθηκε με τη δράση ρηγμάτων οριζόντιας μετατόπισης, που έχουν διεύθυνση Β 100-120°, και παρουσιάζουν κύρια, αριστερόστροφη κίνηση. Όπως φαίνεται και από τη στρεσογραφική προβολή των στοιχείων της φάσης αυτής (Εικ. 4, θέση 5), η ενδιάμεση τάση είναι κατακόρυφη, ενώ οι δύο άλλες είναι σχεδόν οριζόντιες. Η ηλικία της φάσης αυτής δεν μπορεί να προσδιοριστεί επακριβώς, γιατί λείπουν τα κατάλληλα λεπτομερή στρωματογραφικά στοιχεία. Εν τούτοις επειδή είναι μεταγενέστερη της πρώτης εφελκυστικής φάσης και σίγουρα προγενέστερη της τεταρτογενούς εφελκυστικής φάσης, θεωρούμε ότι επηρέασε την περιοχή κατά το τέλος του Πλειοκαίνου-αρχή Πλειστόκαινου. Κατά την περίοδο αυτή είναι γνωστό (PHILIP 1974, LEMEILLE 1977, MERCIER et al. 1987) ότι υπήρξε κάποια διακοπή στην επικράτηση της εφελκυστικής τεκτονικής στο χώρο του Αιγαίου.



Εικ.6α.: Περιοχή Κερασίας.
Ασυμφωνία κάτω μειοκανυκών και άνω μειοκανυκών αποθέσεων.
Fig.6a.: Kerasia area.
Unconformity between lower miocene and upper miocene deposits.



Εικ.6β.: Περιοχή Μετόχης.
Ρήγματα οριζόντιας μετατόπισης εντός των ποταμοχερσαίων αποθέσεων.
Fig.6b.: Metohi area.
Strike-slip faults into the fluviatile deposits.

ΣΥΜΠΕΡΑΣΜΑΤΑ

- Οι νεογενεῖς σχηματισμοί της Β. Εύβοιας αποτελούνται από :
- Ιζήματα του Κατώτερου Μειόκανου (κύρια αργίλους, πηλίτες, ψαμμίτες και κροκαλοπαγή).
- Ιζήματα του Ανώτερου Μειόκανου-Ανώτερου Πλειόκανου, που έχουν αποτεθεί ασύμφωνα πάνω στις αποθέσεις του Κατώτερου Μειόκανου (ψαμμίτες, μάργες, άργιλως τραβερτίνες και μαργαλικάς ασβεστόλιθους).
- Η νεοτεκτονική μελέτη που αφορά κύρια τα ιζήματα αυτά, αλλά και το προνεογενές υπόβαθρο έδειξε την ύπαρξη των παρακάτω τεκτονικών φάσεων :
- Μίας φάσης εφελκυσμού διεύθυνσης ΒΑ-ΝΔ, μετοπλειοκανικής ηλικίας.
- Μίας φάσης που συνδέεται με ρήγματα οριζόντιας μετατόπισης.
- Μίας εφελκυστικής φάσης διεύθυνσης Β.ΒΔ-Ν.ΝΔ, που έδρασε κατά την διάρκεια του Τεταρτογενούς.

ΒΙΒΛΙΟΓΡΑΦΙΑ

- BRUIJN,H.de.-A.J. VAN DER MEULEN & KATSIKATOS, G. (1980). The mammals from the Lower Miocene of Aliveri (Island) of Evia,(Greece).Part 1. The Scikridae-kon.*Kon.Ned.Akad.Wetensch.Proc. B.*(83):241-261.
- CHENEVART, C., KATSIKATOS, G. (1967). Γεωλογικός χάρτης νήσου Εύβοιας κλίμακας 1 : 200.000
- CORDELLA (1878). La Grèce sous le rapport géologique et minéralogique. *Edition Parent*, (Paris).
- DEPRAT, J. (1904). Etude géologique et pétrographique de l'île d' Eubée.*Dodivers, (Besançon)*:1-230.
- DOUKAS, C.S. (1986). The mammals from the Lower Miocene of Aliveri (Island of Evia, Greece). Part 5:The Insectivores.*Kon.Ned.Acad.Wetensch. Proc.B.*, 89, 1, 15-38.
- GUERNET, C. (1971). Contribution à l' étude géologique de l' Eubée et des régions voisines (Grèce).*Thèse*, Paris :1-351.
- HOFMEIJER, G.H. and H. De BRUIJN (1987). The mammals from the Lower Miocene of Aliveri.*Kon. Ned. Akad. Wetensch. Proc. 8*, v. 90, n°2.
- HUFNAGEL, M. (1982). Das neogen von Ag. Anna im nordosten der insel Euböa (Agäis). Stratigraphie, sedimente und ökologie.*Diplomarbeit*, Kiel :1-120.
- KATSIKATOS, G., ΚΟΥΚΗΣ, Γ., ΜΕΤΤΟΣ, Α., ΑΜΜΙΑΝΤΑΚΗΣ, Ν. (1978). Γεωλογικός χάρτης της Ελλάδας. Φύλλο "Λάριμνα", 1 : 50.000, ΙΓΜΕ, Αθήνα.
- KATSIKATOS, G., ΚΟΥΚΗΣ, Γ., ΦΥΤΙΚΑΣ, Μ., ΜΕΤΤΟΣ, Α., ΒΙΔΑΚΗΣ, Μ. (1980). Γεωλογικός χάρτης της Ελλάδας. Φύλλο "Λάριμνη" κάλυψη: 1 : 50.000, ΙΓΜΕ, Αθήνα.
- KATSIKATOS, G., BRUIJN DE.H. & A.J.VAN DER MEULEN (1981). The Neogene of the island of Euboea (Evia),a review. *Geol.Mijlpauw* 60:509-516.
- KATSIKATOS, G., ΜΕΤΤΟΣ, Α., ΒΙΔΑΚΗΣ, Μ., ΒΑΒΑΥ, ΡΗ., ΠΑΝΑΓΟΠΟΥΛΟΣ, Α., ΒΑΣΙΛΑΚΗ, Α., ΠΑΠΑΖΕΤΗ Ε. (1982). Γεωλογική μελέτη περιοχής Αιδηψού-Εύβοια. ΙΓΜΕ, Αθήνα.
- KATSIKATOS, G., ΜΕΤΤΟΣ, Α., ΒΙΔΑΚΗΣ, Μ. (1984). Γεωλογικός χάρτης της Ελλάδας. Φύλλο "Ιοτία", κάλυψη: 1 : 50.000, ΙΓΜΕ, Αθήνα.
- LEMEILLE, F. (1977). Etude néotectonique en Grèce centrale nord orientale (Eubée centrale, Attique, Béotie, Locride), *Thèse* 3e cycle, Université de Paris XI (Orsay), p.173.
- MERCIER, J.L., SOREL, D., SIMEAKIS, K. (1987). Changes in the state of stress in the overriding plate of a subduction zone:the Aegean Arc from the Pliocene to the Present, *Annales Tectonical*, Vol. 5, n°1, p. 20-39.
- MITZOPoulos, M. (1947). Die Verbreitung der Pikermistufe auf der Insel Euböa. *Ann.Geol.Pays Hellen.*, p.209-216.
- PHILIP, H. (1974). Etude néotectonique des rivages égéens en Locride et en Eubée nord-occidentale (Grèce). *Thèse* 3e cycle. Ac.de Montpellier, Univ. Sc.Techn. du Languedoc, p. 78.
- RONDOYANNI, TH. (1984). Etude néotectonique des rivages occidentaux du canal d'- Τιμήνα-Γεύδονιας (ΑΙΓΑΙΟ). *Thèse*, 3e cycle, Université de Paris-Sud, p.190.
- WOODWARD, A. (1901). On the borebeds of Pikermi, Attica and on similar deposits in Northern Euboea.-*Geol.Mag.* 4:481-486.